

# THE INFLUENCE OF COARSE AGGREGATE CONCENTRATION ON THE STRENGTH OF CONCRETE AND ON THE POROSITY OF CONCRETE MORTAR

G. Skripkiūnas & V. Vaitkevičius MSc

To cite this article: G. Skripkiūnas & V. Vaitkevičius MSc (2001) THE INFLUENCE OF COARSE AGGREGATE CONCENTRATION ON THE STRENGTH OF CONCRETE AND ON THE POROSITY OF CONCRETE MORTAR, Statyba, 7:6, 446-452, DOI: [10.1080/13921525.2001.10531771](https://doi.org/10.1080/13921525.2001.10531771)

To link to this article: <https://doi.org/10.1080/13921525.2001.10531771>



Published online: 30 Jul 2012.



Submit your article to this journal 



Article views: 72

## STAMBIOJO UŽPILDO KONCENTRACIJOS ĮTAKA BETONO STIPRUMUI IR SKIEDININĖS DALIES PORINGUMUI

G. Skripkiūnas, V. Vaitkevičius

Kauno technologijos universitetas

### 1. Įvadas

Betono stiprumą lemia cementinio akmens stiprumas, tačiau užpildai taip pat jam daro žymią įtaką. Lai-koma, kad betono stiprumas priklauso nuo stambiojo užpildo stiprumo tik tada, kai stambiojo užpildo stiprumas mažesnis už cementinio akmens stiprumą.

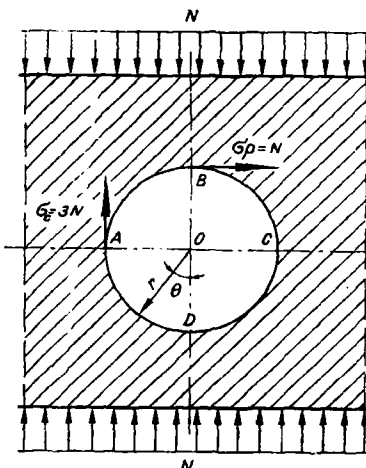
Daugeliu tyrimų nustatyta, kad stambiojo užpildo kiekis ir jo stambumas betono stiprumui turi įtakos tiek, kiek pakeičia betono mišinio vandens poreikį, tačiau mažai nagrinėtas stambiojo užpildo poveikis betono poringumui ir įtempimų koncentracijoms betone, nuo kurį taip pat priklauso betono stiprumas. Iki šiol atlikti tik teoriniai betone atsirandančių įtempimų koncentracijų apie stambujį užpildą skaičiavimai, tačiau eksperimentais tai neįrodyta dėl netinkamų tyrimo metodikų – atliekant eksperimentus neatsižvelgiant į betono skiedinės dalies struktūros ir savybių pasikeitimus, kintant stambiojo užpildo koncentracijai.

Šiuo tyrimu tikslas buvo nustatyti, kaip keičiasi betono skiedinės dalies poringumas ir įtempimų koncentracijos joje, kintant stambiojo užpildo kiekiui betone, ir ištirti stambiojo užpildo įtaką betono stiprumui, esant tam pačiam oru kiekiui betone.

### 2. Įtempimų koncentracijos apkrautame betone

Apkrovus betoną, stambusis užpildas Jame sukelia įtempimų koncentracijas. Ypač pavojingi betone tempimo įtempimai, nes betono arba skiedinio stiprumas tempiant sudaro tik nuo 1/6 iki 1/20 stiprumo gnuždant. A. E. Desovo nuomone, didžiausi tempimo įtempimai gnuždomame betone susidaro skiedinyje virš ir po stambuoju užpildu (taškuose B ir D) (1 pav.). Absoliučiu dydžiu jie prilygsta gnuždymo įtempimams, kuriais veikiamas betonas. Didžiausi gnuždymo įtempimai susidaro šalia stambiojo užpilda (taškuose A ir C) (1 pav.).

Dėl stambiojo užpildo sukeliamų įtempimų koncentracijų gnuždymo įtempimai betone padidėja iki trijų kartų, o esant mažiemis intarpams šalia stambiojo užpilda – iki devynių kartų [1, 2]. Šie rezultatai gauti sprendžiant plokščią tamprumo teorijos uždavinį, analizuojant gnuždomą plokštę su kiauryme, ir daugiau tai-kytini betonams su silpnu poringu užpildu.



1 pav. Įtempimų pasiskirstymas betone apie poringą stambujį užpildą

Fig 1. Distribution of stresses in the concrete near porous coarse aggregate

Minėtus samprotavimus patvirtina ir I. N. Achverdovo atlikti eksperimentai, naudojant plokščius modelius su optiškai jautrios medžiagos matrica ir užpildais iš cementinio akmens. Poliarizaciniu-optiniu metodu buvo nustatyti įtempimai ir apskaičiuotas tempimo įtempimų koncentracijos koeficientas:

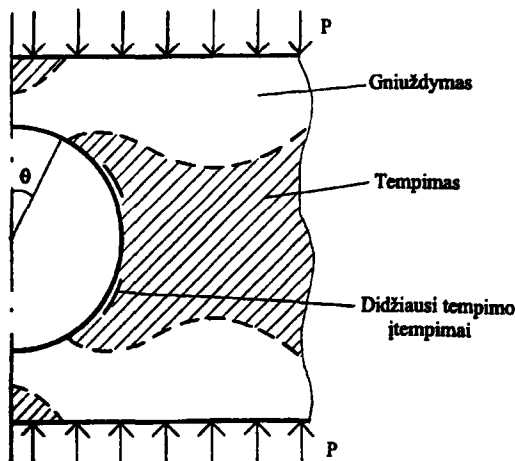
$$K_{\tau} = \tau_{max} / \tau_{vid} \quad (1)$$

$\tau_{max}$  – maksimalūs tempimo įtempimai, susidarantys gnuždomame betone;  $\tau_{vid}$  – vidutiniai tempimo įtempimai.

mai gnuždomame betone. Šie tyrimai parodė, kad įtempimų koncentracijos koeficientas  $K_t$  priklauso nuo stambiojo užpildo ir skiedinio tamprumo modulių santykio  $E_{st}/E_{sk}$  bei stambiojo užpildo koncentracijos betone. Didėjant  $E_{st}/E_{sk}$ , proporcingai didėja ir koeficientas  $K_t$ , o esant pastoviam  $E_{st}/E_{sk}$ , koeficientas  $K_t$  didėja, didėjant stambiojo užpildo koncentracijai betone. Kai stambiojo užpildo betone yra mažiau negu 20%, įtempimų koncentracijos betone minimalios ( $K_t \approx 1$ ) nepriklausomai nuo  $E_{st}/E_{sk}$ , o, esant maksimaliai stambiojo užpildo koncentracijai betone ir  $E_{st}/E_{sk}=3$ , koeficiente  $K_t$  reikšmė padidėja iki 2,4–2,7 [3].

Kad  $E_{st}/E_{sk}$  turi įtakos įtempimų koncentracijai betone, patvirtina A. S. Dmitrijevo bandymai, atlikti su betonais, kuriuose kaip stambusis užpildas buvo panaudoti plieno gabalai. Tokių betonų prizminis stiprumas buvo daug mažesnis negu betonų su kalkakmenio užpildu [4].

O. J. Bergas, su bendradarbiais, nagrinėdama įtempimų pasiskirstymą trimatėje tampriojoje erdvėje su sferiniu intarpu iš tampresnės medžiagos, esant vienašiam gnuždymui, padarė išvadą, kad tempimo įtempimai atsiranda skiedinyje šoninėje stambiojo užpildo zonoje, o gnuždymo įtempimai – skiedinyje, esančiame stambiojo užpildo viršutinėje ir apatinėje dalyse (2 pav.) [5, 6].



2 pav. Įtempimų pasiskirstymas betone apie tankų stambujų užpildą

Fig 2. Distribution of stresses in the concrete near dense coarse aggregate

Didžiausi tempimo įtempimai atsiranda skiedinio ir stambiojo užpildo kontakto zonoje, kai kampus  $\theta \approx 60^\circ$  (kiekvienam stambiojo užpildo simetriniame ketvirtupyje). Tolstant nuo stambiojo užpildo paviršiaus, ir tempimo, ir gnuždymo įtempimų koncentracijos koeficientai staigiai mažėja. Panašius rezultatus gavo S. P. Shah ir G. Winteris, tirdami plyšių atsiradimą apie sferinius užpildus idealizuotame betono modelyje [7], N. I. Netersa, taikydamas baigtinių elementų metodą [8], bei Novosibirsko inžinerinio statybos instituto mokslininkai, modeliuodami betono struktūrą baigtinių elementų metodu [9].

Maksimali tempimo įtempimų koncentracijų reikšmė priklauso nuo stambiojo užpildo ir skiedinio tamprumo modulių santykio ir, kai šis santykis 2, ji lygi  $0,15 P$ , kur  $P$  – gnuždymo įtempimai, kuriais apkrautas betonas. Kai užpildas kubinės formos, gaunami didesni įtempimų koncentracijos koeficientai ir pačiu nentinkamiausiu šių užpildų išsidėstymo atveju gali 25% viršyti įtempimų koncentracijos koeficientų reikšmes su sferiniais užpildais. Užpildo tūrinei koncentracijai betone didėjant nuo 0,5 iki 0,7, tempimo įtempimų koncentracijos koeficientai padidėja nuo 10% iki 15%, o, kai užpildai kubinės formos, – iki 30% [8].

Didžiausių tempimo įtempimų koncentracijų vietoje – stambiojo užpildo ir skiedinio kontakto zonoje (2 pav.), kai tempimo įtempimai viršija stambiojo užpildo ir skiedinio sukibimo stiprumą, atsiranda mikroplyšių, kurių kryptis beveik sutampa su jėgos veikimo kryptimi. Žemę klasių betonuose pradžioje gali atsirasti išilginių mikroplyšių skiedinyje tarp stambiojo užpildo dalelių (virš ir po jomis) jėgos veikimo kryptimi, nes šioje vietoje taip pat atsiranda tempimo įtempimų koncentracijos. Šie plyšiai atsiranda tada, kai atsirađę tempimo įtempimai viršija skiedinio stiprumą tempiant [6]. Tai rodo, kad aukštų klasių betonams ypač svarbus užpildo sukibimas su cementiniu akmeniu, tuo tarpu žemų klasių betonams svarbesnis skiedinio stipumas tempiant.

Prancūzų mokslininkai, tyrinėję betono stiprumo priklausomybę nuo skirtinį stambijuų užpildų, eksperimentais įrodė, kad cementinio akmens ir skiedinio stiprumas visada didesnis už betono stiprumą [10].

### 3. Tyrimų metodika

Norint nustatyti stambiojo užpildo kiekio įtaką betono fiziniems ir mechaniniems savybėms, betono mi-

šiniai buvo ruošiami su trimis V/C santykiais ( $V/C=0,3$ ;  $V/C=0,4$ ;  $V/C=0,6$ ), kurių skiedininė dalis buvo vienoda, keitėsi tik stambiojo užpildo koncentracija  $\varphi_{st}$  – nuo 0 iki 0,5.

Bandymams naudotas portlandcementis CEM I 52,5, pagamintas AB „Akmenės cementas“, kurio savytasis paviršius –  $370 \text{ m}^2/\text{kg}$ , vandens kiekis normalaus tirštumo tešlai – 27,25%. Kaip tankus stambusis užpildas buvo naudojama dviejų frakcijų 4/8 mm ir 8/16 mm granitinė skalda, pagaminta AB „Granitas“, kurios vidutinis dalelių tankis –  $2650 \text{ kg/m}^3$ , skalumas – 7,3%, markė pagal stiprumą – 1400. Kaip poringas užpildas buvo naudojamas dviejų frakcijų 4/8 mm ir 8/16 mm keramzito žvirgždas, pagamintas AB „Palemono keramika“, kurio vidutinis dalelių tankis –  $741 \text{ kg/m}^3$ , poringumas – 66,3%, vandens igėris – 16,3% ir cilindrinis stiprumas – 0,93 MPa. Tyrimams buvo naudojamas Zatyšių karjero smėlis, kurio stambumo modulis – 2,5.

Betono mišiniams paruošti buvo naudojami sausie užpildai. Cementas ir užpildai buvo dozuojami pagal masę, o vanduo ir plastifikuojantis priedas – pagal tūri. Betono mišiniai 3 min. buvo maišomi laboratorinėje 50 l gravitacinių maišyklėje.

Betono savybėms nustatyti buvo formuojami bandiniai –  $10 \times 10 \times 10 \text{ cm}$  kubai. Esant normaliam betono mišinio slankumui ( $V/C=0,3$ ;  $V/C=0,4$ ), bandiniai buvo formuojami iš karto. Esant  $V/C=0,6$ , betono mišiniai buvo labai plastiški, todėl periodiškai permaišant buvo laukiama, kol jie pradės rištis, ir tik tada buvo formuojami bandiniai. Taip daryta tam, kad formuojant bandinius betono mišiniai neišsisluoksniotų ir neatsiskirtų vanduo. Betono su skirtinė stambiojo užpildo (keramzito) koncentracija struktūra parodyta 3 pav. Stambiojo užpildo dalelės pasiskirsto tolygiau, kuo didesnė stambiojo užpildo koncentracija.

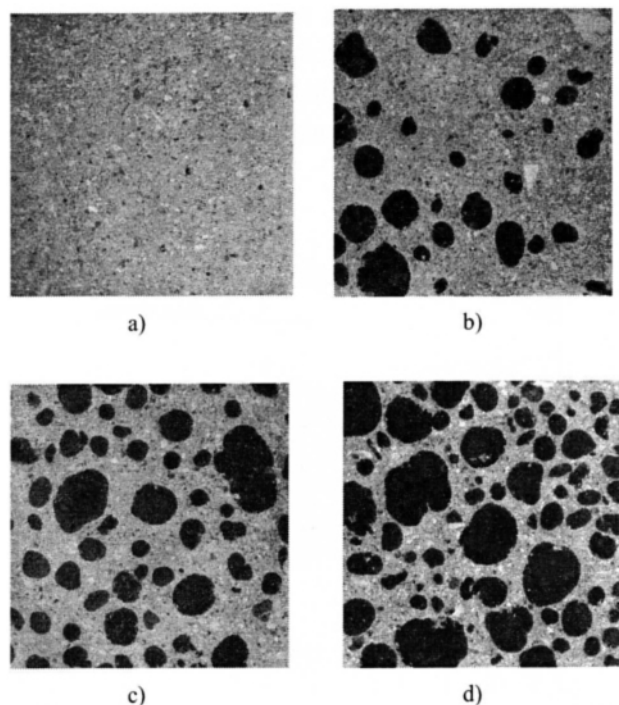
Bandiniai išbandyti po 28 parų kietėjimo režiniuje kameroje ( $20 \pm 2^\circ\text{C}$  temperatūra,  $95 \pm 5\%$  santykinė drėgmė). Betono atviras poringumas (kapiliarinis poringumas) nustatytas pagal vandens igėrį, o uždaras poringumas (oro kiekis betone) – pagal betono tankį ir savitajį tankį. Skiedinio poringumas apskaičiuotas pagal betono poringumą, stambiojo užpildo poringumą ir skiedinio kiekį betone. Skaičiuojant skiedinio poringumą laikyta, kad tankaus stambiojo užpildo (granitinės skaldos) poringumas lygus nuliui.

#### 4. Tyrimų rezultatai

Betono fizikinės ir mechaninės savybės buvo tiriamos keičiant stambiojo užpildo koncentraciją, tačiau esant pastoviam V/C santykui ir cementinės tešlos kiekiui skiedinyje. Tyrimų rezultatai pateikti 1 ir 2 lentelėse.

Kaip matyti iš 1 ir 2 lentelių bei 4 ir 5 pav., didėjant tankaus stambiojo užpildo koncentracijai betone, jo stipris gnuždant didėja, o, didėjant poringo stambiojo užpildo koncentracijai betone, jo stipris gnuždant mažėja. Tačiau kintant stambiojo užpildo koncentracijai, žymiai keičiasi ir oro kiekis betono mišinyje bei betone (1 ir 2 lentelės), kuris taip pat turi didelės įtakos betono stiprumui. Žinoma, kad 1% sulaikyto oro betone sumažina betono stiprumą apie 5% [11].

Ivertinę oro kieko įtaką betono stiprumui, gauname 4 ir 5 pav. pavaizduotas kreives, kurios rodo, kad stambiojo užpildo koncentracijos didėjimas turi neigiamos įtakos betono stiprumui, kai oro kiekis betone yra pastovus.



3 pav. Keramzitbetonio bandinių skelto paviršiaus vaizdas, esant skirtinė stambiojo užpildo koncentracijai  $\varphi_{st}$ : a – 0, b – 0,15, c – 0,3, d – 0,5

Fig 3. The view of the broken surface of expanded clay aggregate concrete with different volumetric concentration of coarse aggregate  $\varphi_{st}$ : a – 0, b – 0.15, c – 0.3, d – 0.5

**1 lentelė.** Betonų su tankiu stambuoju užpildu (granitine skaldos) fizikinės ir mechaninės savybės

**Table 1.** Physical and mechanical properties of the concretes with dense coarse aggregate (crushed granite)

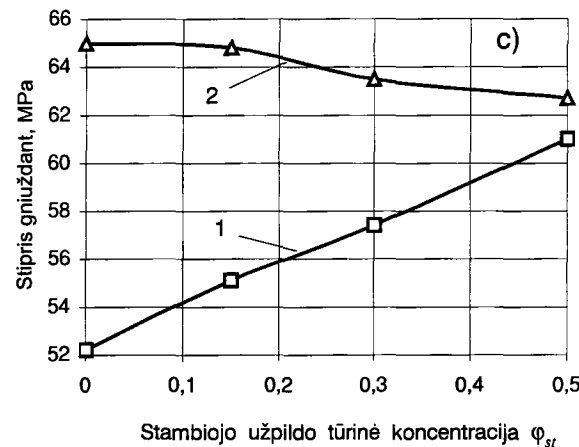
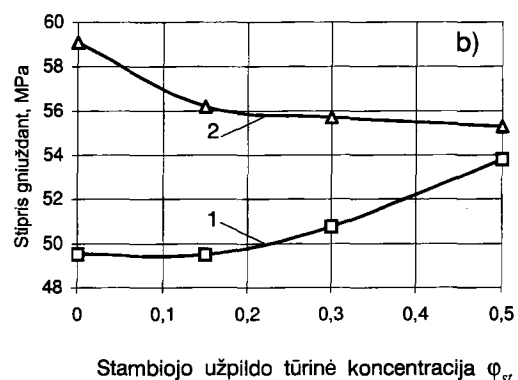
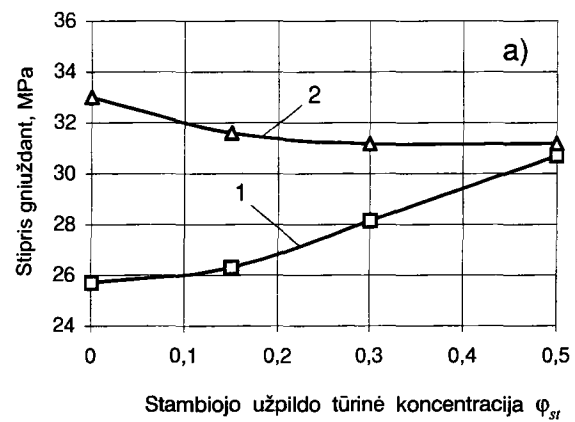
| $\phi_{st}$ | Tankis,<br>kg/m <sup>3</sup> | Stipris<br>gniuždant,<br>MPa | Oro kiekis, % |                 | Kapiliarinis<br>poringumas, % |                 |
|-------------|------------------------------|------------------------------|---------------|-----------------|-------------------------------|-----------------|
|             |                              |                              | betone        | skiedi-<br>nyje | betone                        | skiedi-<br>nyje |
| V/C = 0,3   |                              |                              |               |                 |                               |                 |
| 0           | 2233                         | 52,2                         | 4,9           | 4,9             | 18,5                          | 18,5            |
| 0,15        | 2295                         | 55,1                         | 3,5           | 4,1             | 16,4                          | 19,3            |
| 0,3         | 2435                         | 57,4                         | 2,1           | 3,0             | 13,2                          | 18,9            |
| 0,5         | 2510                         | 61,0                         | 0,6           | 1,2             | 9,9                           | 19,8            |
| V/C = 0,4   |                              |                              |               |                 |                               |                 |
| 0           | 2217                         | 49,5                         | 3,9           | 3,9             | 19,3                          | 19,3            |
| 0,15        | 2305                         | 49,5                         | 2,7           | 3,2             | 17,5                          | 20,6            |
| 0,3         | 2376                         | 50,8                         | 2,0           | 2,9             | 14,3                          | 20,4            |
| 0,5         | 2460                         | 53,8                         | 0,6           | 1,2             | 12,1                          | 24,2            |
| V/C = 0,6   |                              |                              |               |                 |                               |                 |
| 0           | 2110                         | 25,7                         | 5,7           | 5,7             | 23,6                          | 23,6            |
| 0,15        | 2189                         | 26,3                         | 4,0           | 4,7             | 19,7                          | 23,2            |
| 0,3         | 2300                         | 28,1                         | 2,1           | 3,0             | 14,9                          | 21,3            |
| 0,5         | 2418                         | 30,7                         | 0,2           | 0,4             | 11,6                          | 23,2            |

**2 lentelė.** Betonų su poringu stambuoju užpildu (keramzitu) fizikinės ir mechaninės savybės

**Table 2.** Physical and mechanical properties of the concretes with porous coarse aggregate (expanded clay aggregate)

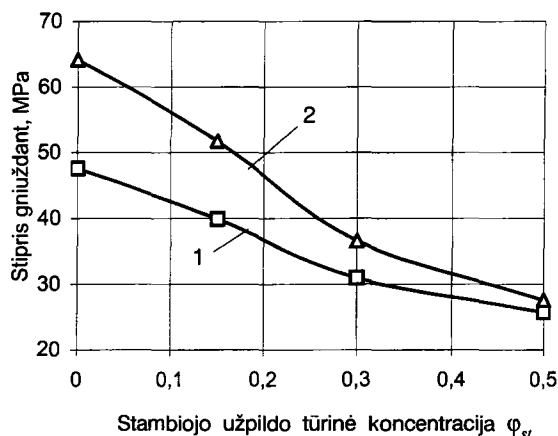
| $\phi_{st}$ | Tankis,<br>kg/m <sup>3</sup> | Stipris<br>gniuždant,<br>MPa | Oro kiekis, % |                 | Kapiliarinis<br>poringumas, % |                 |
|-------------|------------------------------|------------------------------|---------------|-----------------|-------------------------------|-----------------|
|             |                              |                              | betone        | skiedi-<br>nyje | betone                        | skiedi-<br>nyje |
| V/C = 0,4   |                              |                              |               |                 |                               |                 |
| 0           | 2231                         | 47,4                         | 4,5           | 4,5             | 18,9                          | 18,9            |
| 0,15        | 2063                         | 39,9                         | 9,2           | 4,0             | 17,8                          | 16,2            |
| 0,3         | 1863                         | 31,0                         | 20,6          | 3,9             | 11,2                          | 8,0             |
| 0,5         | 1612                         | 25,7                         | 29,5          | 1,8             | 7,4                           | 2,0             |

Betono stiprumo sumažėjimą, didėjant stambiojo užpildo koncentracijai, lemia įtempimų koncentracijos ir betono struktūros defektai, atsirandantys apie stambujį užpildą. Didesnis stiprumo sumažėjimas betonuose su tankiu užpildu pastebėtas stambiojo užpildo koncentracijai  $\phi_{st}$  didėjant nuo 0 iki 0,15. Betonuose su poringu stambuoju užpildu (keramzitu) betono stiprumas proporcingai mažėja, stambiojo užpildo koncentracijai didėjant nuo 0 iki 0,5.



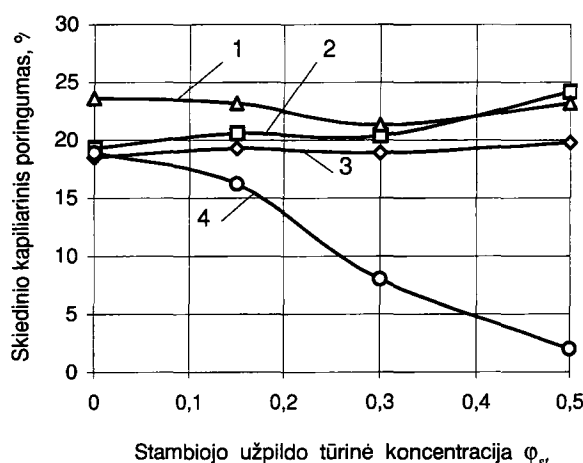
**4 pav.** Betono (V/C = 0,6 (a); V/C = 0,4 (b); V/C = 0,3 (c)) stiprumo priklausomybė nuo stambiojo užpildo (granitinės skaldos) koncentracijos  $\phi_{st}$ : 1 – neįvertinus oro kiekių betone; 2 – esant tam pačiam oro kiekiui betone

**Fig 4.** Relationship between compressive strength of concrete (W/C=0,6 (a); W/C=0,4 (b); W/C=0,3 (c)) and volumetric concentration of coarse aggregate (crushed granite)  $\phi_{st}$ ; 1 – concrete with current entrained air; 2 – concrete with constant entrained air



**5 pav.** Betono ( $V/C = 0,4$ ) stiprumo priklausomybė nuo stambiojo užpildo (keramzito) koncentracijos  $\phi_{st}$ : 1 – neįvertinus oro kiekių betone; 2 – esant tam pačiam oro kiekiui betone

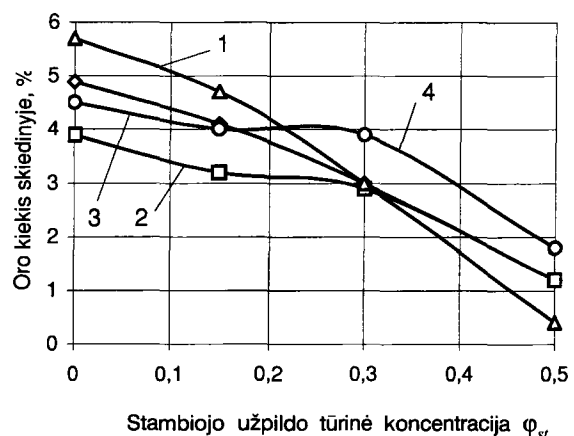
**Fig 5.** Relationship between compressive strength of concrete ( $W/C=0.4$ ) and volumetric concentration of coarse aggregate (expanded clay aggregate)  $\phi_{st}$ : 1 – concrete with current entrained air; 2 – concrete with constant entrained air



**6 pav.** Betono skiedininės dalies kapiliarinio poringumo priklausomybė nuo stambiojo užpildo koncentracijos  $\phi_{st}$ : 1 – betonas su tankiu stambiuoju užpildu,  $V/C = 0,6$ ; 2 – tas pats,  $V/C = 0,4$ ; 3 – tas pats,  $V/C = 0,3$ ; 4 – betonas su poringu stambiuoju užpildu,  $V/C = 0,4$

**Fig 6.** Relationship between capillary porosity of concrete mortar and volumetric concentration of coarse aggregate  $\phi_{st}$ : 1 – concrete with dense coarse aggregate,  $W/C=0.6$ ; 2 – the same,  $W/C=0.4$ ; 3 – the same,  $W/C=0.3$ ; 4 – concrete with porous coarse aggregate,  $W/C=0.4$

Stambusis užpildas turi įtakos ir betono skiedininių dalies struktūrai. Kadangi tankaus stambiojo užpildo vandens įgeriamumas labai mažas, jis nepakeičia vandens kiekių skiedinyje ir todėl skiedinio kapiliarinės po-



**7 pav.** Oro kiekio betono skiedinėje dalyje priklausomybė nuo stambiojo užpildo koncentracijos  $\phi_{st}$ : 1 – betonas su tankiu stambiuoju užpildu,  $V/C = 0,6$ ; 2 – tas pats,  $V/C = 0,4$ ; 3 – tas pats,  $V/C = 0,3$ ; 4 – betonas su poringu stambiuoju užpildu,  $V/C = 0,4$

**Fig 7.** Relationship between entrained air content in the concrete mortar and volumetric concentration of coarse aggregate  $\phi_{st}$ : 1 – concrete with dense coarse aggregate,  $W/C=0.6$ ; 2 – the same,  $W/C=0.4$ ; 3 – the same,  $W/C=0.3$ ; 4 – concrete with porous coarse aggregate,  $W/C=0.4$

ringumas išlieka pastovus, didėjant tankaus stambiojo užpildo koncentracijai (6 pav.). Poringas stambus užpildas (keramzitas) pasižymi dideliu vandens įgeriamumu (daugiau nei 16%), dėl ko, didėjant stambiojo užpildo koncentracijai betone, žymiai sumažėja vandens kiekis betono skiedinėje dalyje ir jos kapiliarinės poringumas (6 pav.). Dėl minėtų reišinių padidėja betono skiedinės dalies stiprumas, kas dar labiau padidina skirtumą tarp stambiojo užpildo ir skiedinės dalies stiprumų. Kai užpildo stiprumas žymiai mažesnis už skiedinio stiprumą, susidaro didelės tempimo įtempimų koncentracijos virš ir po stambiuoju užpildu (1 pav.), kurios labai sumažina betono stiprumą (3 pav.). Šiuos samprotavimus patvirtina bandinių suirimo pobūdis – gniūždomi bandiniai suiro, atsiradus plyšiams, lygiagretiems su apkrovos veikimo kryptimi, visame bandinio tūryje.

Didelį betono su poringu užpildu skiedinės dalies stiprumą patvirtina betoninių bandinių skelto paviršiaus vaizdas (3 pav.). Betono su poringu stambiuoju užpildu irimas vyksta per užpildo daleles, o ne per skiedinio ir užpildo kontakto zoną, kaip būna bandant betoną su tankiu stambiuoju užpildu.

Oro kiekis betonu tiek su tankiu, tiek su poringu stambiuoju užpildu skiedinėje dalyje proporcionaliai mažėja, didėjant stambiojo užpildo koncentracijai (7 pav.).

Oro kiekis labiau sumažėja didesnio plastiškumo betono mišiniuose. Oro kiekių kitimas skiedininių betono dalyje nepriklauso nuo stambiojo užpildo poringumo, kadangi tiek tankaus, tiek poringo stambiojo užpildo savitasis paviršius tokas pats, kas ir turi didžiausios įtakos oro kiekiui skiedinyje ir betono mišinyje.

Stambiojo užpildo neigiamas poveikis betono stiprumui gnuždant atsiranda ir dėl silpnesnio stambių dalelių sukibimo su cementiniu akmeniu, nes cementinio akmens ir užpildų sukibimas didėja, mažėjant užpildų dydžiui [12].

Tyrimai rodo, kad atitinkamai parinkus stambiojo užpildo savybes ir jo kiekį betono mišinyje, galima sumažinti įtempimą koncentracijas betone, atitolinti plyšių susidarymo procesus, padidinti betono stiprumą ir išplėsti betono panaudojimo galimybes.

## 5. Išvados

- Didėjant tiek tankaus, tiek poringo stambiojo užpildo koncentracijai, oro kiekis betono skiedininių dalyje ir betone mažėja, t. y. mažėja uždaras betono skiedininių dalies poringumas.

- Atviras (kapiliarinis) betono skiedininių dalies poringumas, didėjant stambiojo užpildo koncentracijai, keičiasi nežymiai, kai stambusis užpildas tankus, ir žymiai sumažėja, didėjant stambiojo poringo užpildo koncentracijai.

- Betono stiprumui gnuždant, esant tai pačiai skiedininių dalies sudėčiai, daugiausia įtakos turi du veiksnių: oro kiekis arba uždaras betono poringumas ir stambiojo užpildo kiekis bei jo stiprumas.

- Esant tam pačiam oro kiekiui betone ir tai pačiai skiedininių dalies sudėčiai, didėjant stambiojo užpildo koncentracijai, betono stipris gnuždant mažėja dėl struktūrinų defektų ir įtempimų koncentracijų, kurios susidaro apie stambujį užpildą.

- Stambiojo užpildo koncentracijos įtaką betono stiprumui ir oro kiekiui jame būtina įvertinti projektuojant betono mišinius.

## Literatūra

- A. E. Десов. Пути получения и область применения высокопрочного бетона // Бетон и железобетон, № 3, 1969, с. 7–12.
- Г. А. Калниныш, И. А. Калис. Керамзитогазобетон для несущих конструкций зданий. Рига: Зинатне, 1976. 128 с.

- И. Н. Ахвердов, А. Е. Смольский, В. В. Скочеляс. Моделирование напряженного состояния бетона и железобетона. Минск: Наука и техника, 1973. 232 с.
- А. С. Дмитриев. Влияние крупного заполнителя на прочность и деформативность высокопрочного бетона // Вопросы общей технологии и ускорения твердения бетона. М.: Стройиздат, 1973, с. 24–34.
- О. Я. Берг, Е. Н. Щербаков, Н. Г. Хубова. О пространственном напряженном состоянии бетона при одноосном сжатии // Известия ВУЗов. Строительство и архитектура, № 2, 1972, с. 8–13.
- О. Я. Берг, Н. Г. Хубова, Е. Н. Щербаков. Разрушение контакта между заполнителем и раствором при сжатии бетона // Известия ВУЗов. Строительство и архитектура, № 8, 1972, с. 13–17.
- N. J. Carino. A discussion of the paper "The Influence of Premix Polymer Additives on the Deformation Behavior of Concrete" by D. J. Cook and V. Sirivivatnanon // Cement and Concrete Research, Vol 8, No 5, 1978, p. 775–778.
- Н. И. Нетеса. Механика и технология бетонов. Киев-Донецк: Вища школа, 1987. 146 с.
- С. М. Сергеев, В. А. Беккер, В. В. Бездеинев. Моделирование напряженного состояния растворной части вокруг гранул крупного заполнителя бетона при действии на него внешней сжимающей нагрузки // Известия ВУЗов. Строительство и архитектура, № 5, 1982, с. 21–25.
- F. Larrard, A. Belloc. The Influence of Aggregate on the Compressive Strength of Normal and High-Strength Concrete // ACI Materials Journal, Vol 94, No 5, 1997, p. 417–426.
- В. Н. Шмагальский. Виброуплотнение бетонных смесей // Технологическая механика бетона: Сборник научных трудов. Рига, 1985, с. 115–127.
- S. Walker, D. L. Bloem. Effects of Aggregate Size on Properties of Concrete // Journal of the American Concrete Institute, Vol 57, No 3, 1960, p. 283–298.

[teikta 2001 01 20]

## THE INFLUENCE OF COARSE AGGREGATE CONCENTRATION ON THE STRENGTH OF CONCRETE AND ON THE POROSITY OF CONCRETE MORTAR

G. Skripkiūnas, V. Vaitkevičius

### Summary

The results of experiments dealing with coarse aggregate concentration influence on the concrete strength and the structure of hardened cement paste and mortar of concrete are presented in the paper.

Experiments were performed on concrete with dense coarse aggregate (crushed granite) which strength is more than strength of mortar and lightweight porous aggregate (expanded clay aggregate) with strength less than that of mortar. Physical and mechanical properties of concrete with dense coarse

aggregate are presented in Table 1 and the concretes with the porous coarse aggregate in Table 2. The decrease of entrained air content with the increase of coarse aggregate concentration  $\varphi_{st}$  were determined both for concretes with dense and porous coarse aggregate. The entrained air has a significant effect on concrete strength – 1% of entrained air decreases the strength of concrete about 5% [11]. The influence of the coarse aggregate concentration on the compressive strength of concrete with the constant air content is presented in Figs 3 and 4. With the increase of coarse aggregate concentration the concrete strength decreases when the entrained air content in concrete is constant. The main reasons of the concrete strength reduction are the stress concentration and structural defects near the coarse aggregate.

Coarse aggregate affects the structure of mortar. Dense coarse aggregate has negligible water absorption and does not change water content in mortar of concrete, and capillary porosity of mortar remains constant when the concentration of dense coarse aggregate  $\varphi_{st}$  increases (Fig 5). Porous coarse aggregate (expanded clay aggregate) has large water absorption (more than 16%), therefore water content in mortar of concrete is reduced and capillary porosity of mortar is significantly reduced when the concentration of porous coarse aggregate  $\varphi_{st}$  increases (Fig 5).

The entrained air content in mortar with both dense and porous coarse aggregate decreases inverse proportionally to coarse aggregate concentration  $\varphi_{st}$  (Fig 6).

The investigations have shown that suitable selection of properties and volumetric concentration of coarse aggregate can reduce stress concentration in concrete and increase the concrete strength.

---

**Gintautas SKRIPKIŪNAS.** Doctor, Associate Professor. Dept of Building Materials, Kaunas University of Technology (KTU). Studentų St. 48, LT-3031 Kaunas, Lithuania. E-mail: Gintautas.Skripkiunas@saf.ktu.lt

A graduate of KTU (1985). Doctor (1994). From 1994 Head of the Dept of Building Materials at KTU. Member of Board of Lithuanian Association of Construction Industry, member of American Concrete Institute (ACI). Research interests: concrete structure and properties, concrete durability, concrete technology.

---

**Vitoldas VAITKEVIČIUS.** MSc, Assistant. Dept of Building Materials. Kaunas University of Technology (KTU). Studentų St. 48, LT-3031 Kaunas, Lithuania.  
E-mail: Vitoldas.Vaitkevicius@saf.ktu.lt

A graduate of Civil Engineering Faculty of KTU (1994). Doctoral studies at KTU (1995–2000). Research interests: concrete properties, high-strength concrete, concrete technology.